

# 碲镉汞 $p-n$ 结光电二极管稳态特性的计算机模拟

丁 兰 英

(山东大学光学系)

参考文献[1]和[2]曾用电中性近似作为迭代初值, 计算了  $p-n$  型碲镉汞光伏探测器的稳态特性, 并讨论了计算中所采用的特别设计的差分方法的稳定性问题。本文改用  $n-p$  型结构, 并采用耗尽层近似作为迭代初值, 除载流子分布、电势分布和伏安特性外, 还增加计算了零偏压电阻  $R_0$  和结电容  $C$ , 及其随某些参量(底板厚度、载流子迁移率、结的陡缓)的变化。

在工艺上, 把  $n$  型层注入到  $p$  型碲镉汞比把  $p$  型层注入到  $n$  型碲镉汞要方便, 并可减少退火损伤; 在理论上,  $p$  型碲镉汞的少子扩散长度比相同载流子浓度下的  $n$  型要长得多。因此, 本文改用  $n-p$  型结构。迭代初值取耗尽层近似, 可大大减少计算机的计算时间。

图 1 示出在这种近似下简单  $n-p$  型的  $p-n$  结光电二极管的模型。计算中所用的条件和方法与参考文献[1]和[2]所列基本相同。唯耗尽层近似中所用计算  $n$  区和  $p$  区的空间电荷区厚度  $y_{n0}$  和  $y_{p0}$  分别用下式计算:

$$y_{n0} = \left\{ \frac{2\epsilon V_0}{q} \left[ \frac{N_a}{N_a(N_a + N_d)} \right] \right\}^{1/2};$$

$$y_{p0} = \left\{ \frac{2\epsilon V_0}{q} \left[ \frac{N_d}{N_d(N_a + N_d)} \right] \right\}^{1/2}.$$

迭代初值  $n_0(y)$ 、 $p_0(y)$  可由解下列方程求得:

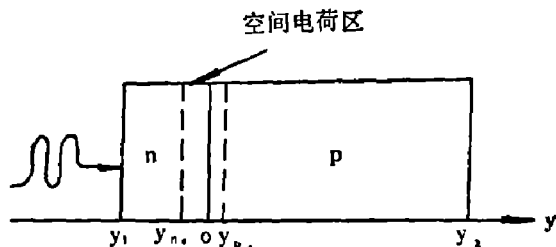
$$n_0(y) - p_0(y) - NY(y) = 0, \quad y_{n0} > y > y_1, \quad y_2 > y > y_{p0};$$

$$n_0(y) - p_0(y) - NY(y) = -\frac{1}{4\pi} N_d, \quad 0 \geq y \geq y_{p0};$$

$$n_0(y) - p_0(y) - NY(y) = \frac{1}{4\pi} N_d, \quad 0 > y > y_{n0};$$

$$n_0(y) \cdot p_0(y) = 1, \quad y_2 > y > y_1.$$

利用参考文献[2]中所提到的差分方法计算了  $n-p$  型碲镉汞结光电二极管在 77 K 下的稳态特性。首先算得零偏压条件下的载流子分布、杂质分布和电势分布。然后计算各种偏

图 1  $p-n$  结光电二极管横截面

本文 1983 年 9 月 13 日收到。

置条件下以上分布的变化。由  $n$ 、 $p$ 、 $\psi$  可算得各种偏置条件下的电流密度，从而得到相应的伏安特性，以上计算所得的曲线及其变化规律与以前的计算基本相同。器件零偏压的电阻和结电容可由伏安特性根据下列公式求得：

$$R_0 = \left( \frac{\partial I}{\partial V} \right)^{-1} \Big|_{V_a=0}; \quad C_J = \left( \frac{\partial q}{\partial V} \right) \Big|_{V_a=0}$$

在采用参考文献[1]参数的情况下，算得

$$R_0 = 3.54 \Omega; \quad C_J = 285 \text{ pF/cm}^2.$$

如果改变某些参数，可算得这些参数变化时反向饱和电流  $I_s$ 、零偏压电阻  $R_0$  和结电容  $C_J$  的变化。例如，增加器件底板厚度，取  $y_2 = 114 \mu\text{m}$ ，则算得反向饱和电流  $I_s = 1.32 \text{ mA}$ ，比原来减少近三分之一， $R_0 = 5.46 \Omega$  比原来增加近三分之一，而  $C_J$  基本不变。若取载流子迁移率为原来的一半，即  $\mu_n = 3.55 \times 10^4 \text{ cm}^2 \text{ V}^{-1} \text{ sec}^{-1}$ ， $\mu_p = 150 \text{ cm}^2 \text{ V}^{-1} \text{ sec}^{-1}$ ，则算得： $I_s = 1.11 \text{ mA}$ ， $R_0 = 6.34 \Omega$ ， $C_J$  基本不变。如在杂质分布  $NY$  的表达式中取  $L$  为原来的一半，即  $L = 2 \times 10^{-4} \text{ cm}$ ，即使  $p-n$  结变得更陡，则得： $I_s = 1.11 \text{ mA}$ ， $R_0 = 3.14 \Omega$ ， $C_J = 429 \text{ pF/cm}^2$ 。通过以上计算可知，适当加厚底板，减小迁移率，可提高  $R_0$  和减小  $I_s$ 。在一定参数条件下，缓变结的  $R_0$  较高，增加底板厚度与减少迁移率对  $C_J$  的影响不大，而结的陡缓对  $C_J$  都有明显的影响。

致谢——作者对美国威斯康辛大学电器和计算机工程系 J. D. Wiley 教授给予有益的讨论和提供使用计算机方便表示感谢。

### 参 考 文 献

- [1] 陈继述、丁兰英等，山东大学学报（自然科学版），(1981)，1: 80~88
- [2] Yang Yirang, Ding Lanying, Yang Hong, *Kexue Tongbao* (Ed. in Foreign Languages), 27(1982), 7: 790~795.

## COMPUTER SIMULATION OF THE STEADY STATE CHARACTERISTICS OF P-N JUNCTION PHOTODIODE FOR $\text{Hg}_{0.8}\text{Cd}_{0.2}\text{Te}$

DING LANYING

(Department of Optics, Shandong University)

### ABSTRACT

Carrier distribution, electrostatic potential distribution and  $V-I$  characteristics of  $\text{Hg}_{0.8}\text{Cd}_{0.2}\text{Te}$  photodiode of n on p structure at 77K in steady state are computed with the depletion approximation of p-n junction as the initial iterative values. The saturation current density  $j_s$ , the dynamic resistance at zero bias voltage  $R_0$ , the dynamic capacitance  $C_J$ , and the effects of substrate thickness, carrier mobility and steepness of junction are obtained from  $V-I$  characteristic.